

## О ПРОВОДИМОСТИ ПОВЕРХНОСТНОГО ИНВЕРСИОННОГО СЛОЯ InAs *p*-ТИПА В СТРУКТУРАХ In – InAs И Cu – InAs ПРИ НИЗКИХ ТЕМПЕРАТУРАХ

O.B.Жариков, Ю.К.Крутенюк

Экспериментально обнаружены квантовые поправки к проводимости поверхностного инверсионного слоя InAs *p*-типа. Обнаружено проникновение куперовских пар в двухмерный проводящий слой InAs в случае контакта последнего со сверхпроводником.

В последние годы в ряде теоретических работ рассмотрены необычные электрические и магнитные свойства двухмерных проводящих систем при низких температурах<sup>1–4</sup>. На сегодняшний день предсказанные эффекты экспериментально обнаружены в МДП структурах на основе Si<sup>5</sup>, в поверхности скола Ge в гелии<sup>6</sup>, в тонких металлических пленках<sup>7</sup>.

В настоящей работе мы исследовали проводимость и магнитосопротивление InAs *p*-типа с целью обнаружения возможных квантовых поправок к сопротивлению поверхностного инверсионного слоя этого соединения при низких температурах<sup>1)</sup>. Кроме того, нас заинтересовал вопрос, который еще, видно, не изучался: какие явления возникают в случае контакта двухмерной проводящей системы со сверхпроводником и возникают ли они вообще.

Из пластины монокристаллического InAs *p*-типа с поверхностью типа (111), легированного Zn до концентрации  $2 \cdot 10^{16}$ , вырезались образцы размером  $4 \times 4 \times 0,3$  мм. Далее образцы несколько секунд травились в разбавленной HF, промывались спиртом и подвергались в течение 5 минут ионному травлению при  $U = 800$  В,  $I = 0,1$  мА, давлении аргона  $\cong 1,5 \cdot 10^{-4}$  Тор. Процесс проводился для дополнительной очистки поверхности, повышения проводимости инверсионного слоя<sup>9</sup> и ее стабилизации на одном уровне для всех образцов. Далее без промежуточной разгерметизации при  $\cong 10^{-5}$  Тор проводилось напыление через маску (см. вставку на рис.1) высокочистых In или Cu. Узкие части в маске имели ширину 160 мкм и длину 500 мкм. Щель размером  $d$ , который варьировался в опытах в пределах  $5 \div 100$  мкм, получалась разрезом с помощью специального микроманипулятора. Проводимость инверсионного слоя после этой процедуры, практически, не изменялась. Величина  $d$  определялась в сканирующем электронном микроскопе JSM-25. Сопротивление  $R$  измерялось в рефрижераторе растворения He<sup>3</sup>/He<sup>4</sup> при температурах ( $T$ ) до 0,045 К. Измерительный ток варьировался в пределах 1 – 10 мкА. Температура регистрировалась угольным термометром, градуировка которого контролировалась по измерениям восприимчивости парамагнитной соли ЦМН. Магнитосопротивление исследовалось при  $1,2 \div 4,2$  К в поперечном магнитном поле  $H$ .

<sup>1)</sup> Известно, что в InAs *p*-типа существует поверхностный инверсионный слой электронной проводимости, например,<sup>8</sup>.

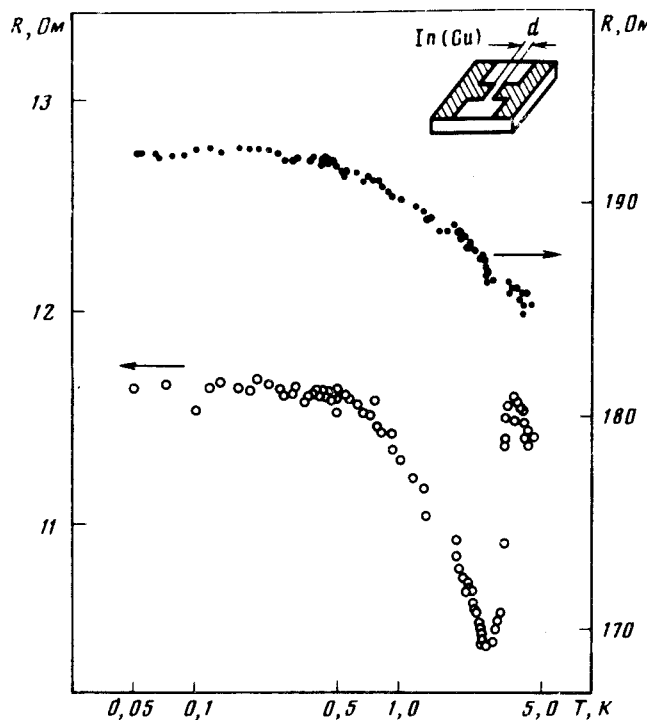


Рис.1. Зависимость сопротивления от температуры для образцов: ● – со структурой Cu – InAs – Cu, ○ – со структурой In – InAs – In.

Опишем теперь результаты измерений сначала для структуры Cu – InAs – Cu. На рис.1 представлена температурная зависимость  $R(T)$  образца с  $d = 93$  мкм, сопротивлением „на квадрат”  $R_{4,2}^{\square} = 320$  Ом, причем температура отложена в логарифмическом масштабе. Можно отметить рост  $R$  при уменьшении  $T$  по крайней мере до  $\cong 0,3$  К, после чего наблюдается выход на насыщение. Видно, что экспериментальные точки могут удовлетворить зависимости  $R \sim \ln^1/T$ . На вольт-амперных характеристиках (ВАХ) исследованных образцов при малых  $I$  наблюдался небольшой начальный нелинейный участок, такой что  $dU/dI > R_{4,2}$  с постепенным выходом на линейный с наклоном, соответствующим  $R_{4,2}$ . При измерительных токах 1 – 10 мкА, т.е. на линейном участке ВАХ,  $R(T)$  практически не зависела от  $I$ . При  $T \geq 4$  К ВАХ были линейны. Измерение  $R(H)$  (см. рис.2) обнаруживает положительное магнитосопротивление.

Зависимость  $R(T)$  для образца со структурой In – InAs – In ( $d = 5$  мкм,  $R_{4,2}^{\square} = 340$  Ом) является более сложной. При уменьшении  $T$  от  $\cong 3,5$  К (для In  $T_c = 3,4$  К) до  $\cong 2,6$  К наблюдается заметное снижение  $R$ , при этом соответствующие ВАХ имеют начальный участок с  $dU/dT < R_{4,2}$ , а затем выходят на линейный. Дальнейшее охлаждение приводит к росту сопротивления, а ВАХ также аналогичны описанным выше для Cu – InAs – Cu. Заметим, что относительное увеличение сопротивления в этом случае в несколько раз больше, чем для структуры Cu – InAs – Cu. Результаты измерения  $R(H)$  для образца со структурой In – InAs – In показаны на рис.2. Наблюдается положительное магнитосопротивление в малых полях, а затем при увеличении  $H$  до критического поля  $H_c$  In пленки – резкий рост  $R$ . (Собственное сопротивление пленки In на три порядка меньше наблюдаемых эффектов и составляет  $\sim 10^{-4}$  Ом).

Причины выхода зависимости  $R(T)$  на насыщение пока не ясны и, возможно, обусловлены перегревом электронной подсистемы<sup>10</sup>. Подобный эффект наблюдается при низких температурах и в<sup>5,7</sup>.

Тривиальная причина изменения  $R$  вблизи  $T_c$  и  $H_c$  может быть связана с неполным (по толщине) разрезом индивидуальной пленки или присутствием „островков” In и сверхпроводящим переходом этих более высокоомных участков. Однако, оценка их возможной толщины

ны дает  $< 10 \text{ \AA}$ . Кроме того, удается изготовить образцы, минуя этапы напыления и разреза, с паяными индивидуальными контактами, в которых наблюдаемые эффекты сохраняются.

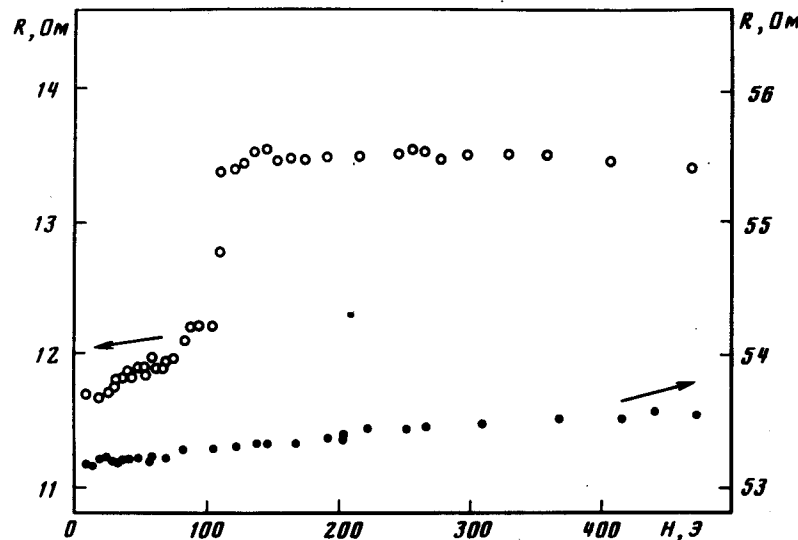


Рис.2. Зависимость сопротивления от магнитного поля для образцов: ● – со структурой Cu–InAs–Cu, ○ – со структурой In–InAs–In

Полученные результаты позволяют сделать следующие предварительные выводы. Температурная зависимость  $R(T)$  и положительное магнитосопротивление в полях  $\sim 100$  Э, т.е. в области классически слабых полей, может, по-видимому, свидетельствовать о вкладе квантовых поправок<sup>4</sup> в проводимость поверхностного инверсионного слоя InAs *p*-типа. Дальнейшее исследование  $R(H, T)$  в более широком диапазоне полей позволит выяснить природу наблюдаемых эффектов.

В случае контакта инверсионного слоя со сверхпроводником наблюдается, по видимости, проникновение куперовских пар в проводящий слой вследствие близости сверхпроводника. При уменьшении температуры преобладающим становится рост сопротивления, связанный, как и в первом случае, с двумерностью инверсионного слоя.

Авторы выражают искреннюю признательность Е.П.Вольскому, А.И.Ларкину, А.В.Шмидту, Д.Е.Хмельницкому за полезные обсуждения, С.Т.Болдыреву и В.М.Мишацеву за ценные консультации, связанные с работой рефрижераторной установки и вопросами термометрии.

#### Литература

1. Abrahams E., Anderson P.W., Licciardello D.C., Ramakrishnan T.V. Phys. Rev. Lett., 1979, **42**, 673.
2. Altshuler B.L., Aronov A.G., Lee P.A. Phys. Rev. Lett., 1980, **44**, 1288.
3. Altshuler B.L., Khmel'nitzkii D.E., Larkin A.I., Lee P.A. Phys. Rev. B., 1980, **22**, 5142.
4. Альтшуллер Б.Л., Аронов А.Г., Ларкин А.И., Хмельницкий Д.Е. ЖЭТФ, 1981, **81**, 768.
5. Bishop D.J., Tsui D.C., Dynes R.C. Phys. Rev. Lett., 1980, **44**, 1153.
6. Вуй Б.М., Заварцкая Э.И., Заварцкий В.Н., Письма в ЖЭТФ, 1983, **37**, 87.
7. Dolan G.J., Osherooff D.D. Phys. Rev. Lett., 1979, **43**, 721.
8. Kawaji S., Kawaguchi Y. Phys. Soc Japan Suppl., 1966, **21**, 336.
9. Millea M.F., Silver A.H., Flesner L.D. Thin Solid Films., 1979, **56**, 253.
10. Anderson P.W., Abrahams E., Ramakrishnan T.V., Phys. Rev. Lett., 1979, **43**, 718.